

УДК 533.6.011.8

© 1998 г. О.Г. БУЗЫКИН, В.С. ГАЛКИН, В.И. НОСИК

## **МОДИФИКАЦИИ УРАВНЕНИЙ БАРНЕТТА И ЗАДАЧА О СТРУКТУРЕ УДАРНОЙ ВОЛНЫ**

На примере задачи о структуре ударной волны в одноатомном газе исследуются вопросы применимости модификаций уравнений Барнетта, полученных упрощением последних. В отличие от полной системы уравнений Барнетта порядок систем модифицированных уравнений такой же, как и системы Навье – Стокса, они устойчивы к коротковолновым возмущениям.

В проблеме вывода макроскопических моделей физической кинетики и механики сплошных сред на базе молекулярно-кинетической теории центральное место занимает метод Чепмена – Энскога решения кинетических уравнений. Уравнения Барнетта получаются во втором приближении метода Чепмена–Энскога решения уравнения Больцмана при числах Кнудсена  $\text{Kn} \ll 1$  [1–3]. В этом приближении напряжения и тепловые потоки содержат кроме навье–стоксовых слагаемые со вторыми производными от газодинамических переменных  $T, p, u$  и произведения из первых производных.

Интерес к уравнениям Барнетта возник в 40-е годы в связи с проектами высотных гиперзвуковых полетов. Была надежда, что учет барнеттовых слагаемых векторе теплового потока и тензоре напряжений расширит область применимости макроскопического описания взамен более сложного кинетического. Итоги исследований были подведены в [4]. Оказалось, что только для задачи о распространении ультразвука учет барнеттовых слагаемых дает значительные уточнения. В то же время был сделан вывод, что решение задачи о структуре ударной волны в рамках уравнений Барнетта при числе Маха набегающего потока  $M_1 \geq 1,9$  не существует, а при меньших  $M_1$  незначительно отличается от решения уравнений Навье – Стокса. И хотя метод Чепмена – Энскога для сильных ударных волн, строго говоря, неприменим, из этого факта широко распространилось негативное отношение к уравнениям Барнетта [3].

Позднее с помощью уравнений Барнетта был обнаружен ряд новых эффектов и опровергнут вывод о non-existence решения для сильных ударных волн [5] (см., также обзоры в [6, 7]). Резкий всплеск интереса к уравнениям Барнетта возник после того, как неожиданно была продемонстрирована их значительно более высокая точность (по сравнению с уравнениями Навье – Стокса) в задаче о структуре сильной ударной волны [8]. Снова появилась надежда на расширение области применимости по числу  $\text{Kn}$  макроскопического описания течений около гиперзвуковых летательных аппаратов: если вблизи поверхности приемлемые результаты дает решение уравнений Навье – Стокса, то в зоне скачка уплотнения они теряют точность, требуемую в ряде ситуаций [9]. Был выполнен большой цикл работ (см., в частности, [10–13]), в процессе которого наглядно проявились следующие проблемы решения краевых задач при помощи уравнений Барнетта.

Очевидна громоздкость этих уравнений и достаточно большая трудоемкость их решения. Однако кроме этого существуют проблемы принципиального характера.

Во-первых, учет барнеттовых слагаемых повышает порядок системы газодинамических уравнений, вследствие чего необходимы дополнительные граничные условия. Строгая теория получения таких условий отсутствует. Интересные предложения, высказанные в [14], не получили должного развития. В целом вопрос о дополнительных граничных условиях остается открытым, при проведении расчетов применяются соображения качественного характера.

Во-вторых, полная система уравнений Барнетта неустойчива к коротковолновым ( $\text{Kn} \geq 1$ ) возмущениям [15]. Проблема их подавления возникает, в частности, при решении стационарных задач методом установления. В [10] для подавления неустойчивости вводились специально подобранные внепорядковые по  $\text{Kn}$  члены. При этом решалась иная система уравнений более высокого порядка.

Простейшее разрешение кризиса в применении полной системы уравнений Барнетта, особенно к нестационарным краевым задачам, было описано в [2]. Идея состоит в замене традиционного метода Чепмена – Энскога модифицированным, в котором вместо цепочки уравнений Навье – Стокса, Барнетта и т.д. получаются, например, уравнения Навье – Стокса, линеаризованные относительно их уравнения Барнетта и т.п. Таким образом, проводится переразложение по  $\text{Kn} \ll 1$  указанной цепочки относительно уравнений Навье – Стокса. В результате ведущим становится навье–стоксов оператор с его известными преимуществами (в частности, устойчивостью к коротковолновым возмущениям) и порядок системы не повышается.

Кажется очевидным, что если различия решений полных систем уравнений Барнетта и Навье – Стокса малы, то малы и различия их решений по классической и модифицированной схемам. На примере точного решения уравнений Больцмана для сдвигового течения это показано в [16]. Понятно также, что с этой же точностью по  $\text{Kn}$  линеаризованные уравнения Барнетта можно заменить неоднородными уравнениями Навье – Стокса с барнеттовыми слагаемыми, рассчитываемыми при помощи обычных уравнений Навье – Стокса.

Однако для задач, где указанные различия не малы, необходимо коренное изменение смысла модификаций. Именно к таким относится задача о структуре сильной ударной волны, причем здесь метод Чепмена – Энскога, строго говоря, неприменим, так как характеристическое число  $\text{Kn} \leq 1$ . Тем не менее уравнения Барнетта дают хорошие результаты. Поэтому можно попытаться проводить аналогичные модификации путем изменения базиса, относительно которого строится метод возмущений: вместо уравнений Навье – Стокса применять усеченные уравнения Барнетта с целью получения приближенного решения, близкого к решению полной системы уравнений Барнетта.

Целью данной статьи является анализ различных модификаций уравнений Барнетта и вывод модели, удовлетворяющей поставленным требованиям.

1. Приведем математическую постановку задачи. Для одноатомных газов уравнения Барнетта имеют вид [1]

$$\begin{aligned} \frac{D\rho}{Dt} + \rho \frac{\partial u_j}{\partial x_j} = 0, \quad \rho \frac{Du_i}{Dt} + \frac{\partial p}{\partial x_i} + \frac{\partial}{\partial x_j} \left( p_{ij}^{(1)} + p_{ij}^{(2)} \right) = 0, \quad p = nkT = \rho \frac{k}{m} T \\ \frac{3}{2} nk \frac{DT}{Dt} + p \frac{\partial u_j}{\partial x_j} + \frac{\partial}{\partial x_j} \left( q_j^{(1)} + q_j^{(2)} \right) + \left( p_{ij}^{(1)} + p_{ij}^{(2)} \right) \frac{\partial u_j}{\partial x_i} = 0, \quad \frac{D}{Dt} = \frac{\partial}{\partial t} + u_k \frac{\partial}{\partial x_k} \end{aligned} \quad (1.1)$$

Здесь применены обычные обозначения для газодинамических переменных  $\rho, p, T, u_i$ , индексы  $i, j, k = 1, 2, 3$ . Через  $p_{ij}^{(1)}, q_i^{(1)}$  обозначены навье–стоксовы напряжения и тепловые потоки, которые можно записать в виде

$$p_{ij}^{(1)} = -2\mu e_{ij}, \quad e_{ij} = \left\langle \frac{\partial u_i}{\partial x_j} \right\rangle, \quad q_i^{(1)} = -\lambda \frac{\partial T}{\partial x_i} \quad (1.2)$$

где  $\mu$ ,  $\lambda$  – коэффициенты вязкости и теплопроводности,  $\delta_{ij}$  – символ Кронекера, оператор  $\langle \rangle$  определяется выражением

$$\langle A_{ij} \rangle = \frac{1}{2}(A_{ij} + A_{ji}) - \frac{1}{3}\delta_{ij}A_{kk}$$

Барнеттовы вклады даются формулами

$$\begin{aligned} p_{ij}^{(2)} &= \frac{\mu^2}{p} \left( K_1 e_{ij} \nabla \mathbf{u} - K_2 \left\langle \frac{\partial}{\partial x_i} \frac{1}{\rho} \frac{\partial p}{\partial x_j} + \frac{\partial u_k}{\partial x_i} \frac{\partial u_j}{\partial x_k} + 2e_{ik} \frac{\partial u_k}{\partial x_j} \right\rangle \right) + \\ &+ \frac{\mu^2}{\rho T} \left\langle K_3 \frac{\partial^2 T}{\partial x_i \partial x_j} + \frac{K_4}{p} \frac{\partial p}{\partial x_i} \frac{\partial T}{\partial x_j} + \frac{K_5}{T} \frac{\partial T}{\partial x_i} \frac{\partial T}{\partial x_j} + \frac{K_6 m}{k} e_{ik} e_{kj} \right\rangle \\ q_i^{(2)} &= \frac{\mu^2}{\rho T} \left\langle \theta_1 \frac{\partial T}{\partial x_i} \nabla \mathbf{u} + 2\theta_2 \left[ \frac{1}{3} \frac{\partial}{\partial x_i} (T \nabla \mathbf{u}) + \frac{\partial T}{\partial x_j} \frac{\partial u_j}{\partial x_i} \right] \right\rangle + \frac{\mu^2}{\rho} \left( \frac{\theta_3}{p} \frac{\partial p}{\partial x_j} + \theta_4 \frac{\partial}{\partial x_j} + \frac{\theta_5}{T} \frac{\partial T}{\partial x_j} \right) e_{ij} \end{aligned} \quad (1.3)$$

Приближенные выражения для коэффициентов в (1.3) имеют вид

$$K_1 = \frac{4}{3} \left( \frac{7}{2} - \mu^* \right), \quad K_2 = 2, \quad K_3 = 3, \quad K_4 = 0, \quad K_5 = 3\mu^*, \quad K_6 = 8 \quad (1.4)$$

$$\theta_1 = \frac{15}{4} \left( \frac{7}{2} - \mu^* \right), \quad \theta_2 = \frac{-45}{8}, \quad \theta_3 = -3, \quad \theta_4 = 3, \quad \theta_5 = 3 \left( \frac{39}{4} + \mu^* \right), \quad \mu^* = \frac{T}{\mu} \frac{d\mu}{dT}$$

Подчеркнем, что (1.4) являются точными значениями для газа максвелловских молекул, когда  $\mu^* = 1$ . Практически точные значения получены также для молекул упругих сфер ( $\mu^* = 1/2$ ) [1].

В одномерном стационарном случае имеем

$$p_{xx}^{(1)} = -\frac{4}{3}\mu \frac{du}{dx}, \quad q_x^{(1)} = -\lambda \frac{dT}{dx}, \quad u = u_x \quad (1.5)$$

$$p_{xx}^{(2)} = \frac{\mu^2}{\rho} \left[ \frac{\rho}{p} \omega_1 \left( \frac{du}{dx} \right)^2 + \omega_2 \frac{1}{T} \frac{d^2 T}{dx^2} + \omega_3 \frac{1}{T^2} \left( \frac{dT}{dx} \right)^2 + \right. \quad (1.6)$$

$$\left. + \omega_4 \frac{1}{\rho} \frac{d^2 \rho}{dx^2} + \omega_5 \frac{1}{\rho^2} \left( \frac{d\rho}{dx} \right)^2 + \omega_6 \frac{1}{\rho T} \frac{d\rho}{dx} \frac{dT}{dx} \right]$$

$$q_x^{(2)} = \frac{\mu^2}{\rho} \left( \gamma_1 \frac{du}{dx} \frac{1}{T} \frac{dT}{dx} + \gamma_2 \frac{d^2 u}{dx^2} + \gamma_3 \frac{du}{dx} \frac{1}{\rho} \frac{d\rho}{dx} \right)$$

$$\omega_1 = \frac{2}{3} \left( K_1 - \frac{7}{3} K_2 + \frac{1}{3} K_6 \right), \quad \omega_2 = \frac{2}{3} (K_3 - K_2), \quad \omega_3 = \frac{2}{3} (K_4 + K_5)$$

$$\omega_4 = -\frac{2}{3} K_2, \quad \omega_5 = \frac{2}{3} K_2, \quad \omega_6 = \frac{2}{3} (K_4 - K_2)$$

$$\gamma_1 = \theta_1 + \frac{2}{3} (4\theta_2 + \theta_3 + \theta_5), \quad \gamma_2 = \frac{2}{3} (\theta_2 + \theta_4), \quad \gamma_3 = \frac{2}{3} \theta_3$$

Отметим, что в некоторых работах (например, [12]) использовано неправильное значение  $\omega_1$ , предложенное в [4]: вместо коэффициента  $1/3$  при  $K_6$  используется коэффициент  $4/9$ . В [8] утверждается, что такая замена слабо сказывается на результатах.

Подстановка (1.2) – (1.4) в (1.1) дает полную систему уравнений Барнетта. Эта система по сравнению с системой Навье – Стокса имеет более громоздкую нелинейную структуру. Несоизмеримо более важными ее недостатками являются отмеченные выше дефекты: повышение порядка системы и, следовательно, увеличение числа граничных условий, а также коротковолновая неустойчивость. К тому же [2] в методе Чепмена – Энскога уравнения высших (начиная с барнеттовых) приближений обладают посторонними (ложными) решениями. Необходимость отсева последних повышает требования к постановке задачи.

Для подавления обнаруженной методом дробления расчетной сетки неустойчивости в [10] были введены дополнительные слагаемые

$$\delta p_{ij} = \frac{\mu^3 k}{3 p^2 m} \langle \nabla_i \nabla^2 u_j \rangle, \quad \delta q_i = \frac{\mu^3 k}{16 p \rho m} \left( 11 \nabla_i (\nabla^2 T) - 10 \frac{T}{\rho} \nabla_i (\nabla^2 \rho) \right) \quad (1.7)$$

в  $p_{ij}$  и  $q_i$  соответственно. Эти члены супербарнеттова типа найдены эмпирически. Утверждается, что они слабо влияют на результаты расчетов.

Важно подчеркнуть, что при добавлении (1.7) решается уже не система уравнений Барнетта, а иная система более высокого порядка. Эта расширенная система была применена для задачи о структуре ударной волны [13] и для задач гиперзвукового обтекания тел [10, 17].

Конкретизируем высказанные во введении соображения о модификациях уравнений Барнетта, понижающих порядок системы и упрощающих ее. Запишем (1.1) в виде  $L_1 + L_2 = 0$ , где  $L_1 = 0$  есть система уравнений Навье – Стокса, а  $L_2$  состоит из барнеттовых слагаемых. Пользуясь тем, что метод Чепмена – Энскога является методом возмущений по  $Kn \ll 1$ , будем искать решение уравнений Барнетта в виде  $\Sigma \approx \Sigma_0 + \Sigma_1$ ,  $|\Sigma_1| \ll |\Sigma_0|$ , где  $\Sigma = (\mathbf{u}, \rho, T)$  – газодинамические переменные. Переменные  $\Sigma_0$  удовлетворяют уравнениям Навье – Стокса  $L_1(\Sigma_0) = 0$ , а для  $\Sigma_1$  имеем

$$L_1^*(\Sigma_1) + L_2(\Sigma_0) = 0 \quad (1.8)$$

где  $L_1^*$  – линеаризованные по  $\Sigma_1$  уравнения Навье – Стокса. Вместо (1.8) с той же точностью можно применять неоднородные уравнения Навье – Стокса

$$L_1(\Sigma) + L_2(\Sigma_0) = 0 \quad (1.9)$$

Естественно ожидать, что для задач, где решения уравнений Навье – Стокса и Барнетта различаются на величины порядка  $Kn \ll 1$ , процедуры (1.8) и (1.9) дадут результаты, близкие к результатам решения полной системы уравнений Барнетта.

Результаты расчетов показали, что для задачи о структуре ударной волны более широкую область применимости по числу  $M_1$  имеют уравнения (1.9). Для краткости изложения ниже модификация (1.8) не рассматривается, а под асимптотической модификацией понимаются неоднородные уравнения Навье – Стокса (1.9).

Для течения в ударной волне число  $Kn$  мало только тогда, когда число  $M_1$  близко к единице (слабая ударная волна). Для сильных ударных волн характерное число Кнудсена асимптотически не мало и метод Чепмена – Энскога, строго говоря, применим лишь формально. Тем не менее и здесь уравнения Барнетта дают хорошие результаты. Поэтому для сильных ударных волн вместо (1.9) можно применить систему уравнений

$$L_1(\Sigma) + L_2^{(1)}(\Sigma) + L_2^{(2)}(\Sigma_0^*) = 0 \quad (1.10)$$

где через  $\Sigma_0^*$  обозначены газодинамические переменные, являющиеся решениями системы уравнений

$$L_1(\Sigma_0^*) + L_2^{(1)}(\Sigma_0^*) = 0$$

Оператор  $L_2^{(2)}$  содержит члены  $p_{ij}^{(2)}, q_i^{(2)}$  со вторыми производными и часть членов с парными производными первых производных, а  $L_2^{(1)}$  учитывает остальные барнеттовы члены. Таким образом, в качестве базисного применяется не оператор Навье – Стокса  $L_1$ , а усеченный оператор Барнетта  $L_1 + L_2^{(1)}$ .

Отметим, что порядок системы неоднородных усеченных уравнений Барнетта (1.10) равен порядку системы уравнений Навье – Стокса. Кроме того, линеаризованная относительно состояния покоя однородная часть уравнения (1.10) совпадает с так же линеаризованными уравнениями Навье – Стокса. Поэтому этой системе не свойственна коротковолновая неустойчивость, отмеченная в [15], где показано, что линеаризованная полная система уравнений Барнетта имеет растущие во времени решения с длиной волны порядка длины свободного пробега. Линеаризованное уравнение Навье – Стокса такой неустойчивостью не обладает.

Кроме изложенных выше упрощений возможен другой подход, основанный на отбрасывании ряда членов и эмпирическом изменении коэффициентов при оставшихся членах. На возможность подобного рода упрощений обращено внимание в [11, 13]. При этом в [13] предлагается вместо (1.6) применять выражения

$$p_{xx}^{(2)} \approx \xi_1 \frac{\mu^2}{p} \left( \frac{du}{dx} \right)^2, \quad q_x^{(2)} \approx \gamma_1 \frac{\mu^2}{\rho T} \frac{du}{dx} \frac{dT}{dx} \quad (1.11)$$

Путем анализа расчетных данных предложено значение  $\xi_1 \approx 8$ . Однако в [13] не приведено никаких данных, характеризующих точность (1.11).

2. Рассмотрим задачу о структуре ударной волны. Для стационарного одномерного случая уравнения (1.1) записываются в дивергентном виде и один раз интегрируются по  $x$ . Из уравнения энергии исключается  $p_{xx}$  с помощью уравнения импульса. С учетом (1.5) и условий Гюгонио получаем [18, 19]

$$\begin{aligned} v + \frac{3}{5M_2^2} \frac{\Theta}{v} - \left( 1 + \frac{3}{5M_2^2} \right) - \sigma = 0, \quad \sigma = \sigma^{(1)} + \sigma^{(2)} \\ \frac{9}{10M_2^2} \Theta - \frac{v^2}{2} + \left( 1 + \frac{3}{5M_2^2} \right) v - \frac{1}{2} \left( 1 + \frac{3}{M_2^2} \right) + q = 0, \quad q = q^{(1)} + q^{(2)} \\ \eta = \frac{\mu}{\mu_2}, \quad \Theta = \frac{T}{T_2}, \quad z = \frac{x}{l_2}, \quad v = \frac{u}{u_2}, \quad l_2 = \frac{\mu_2}{\rho_2 u_2}, \quad \sigma = \frac{P_{xx}}{\rho_2 u_2^2}, \quad q = \frac{q_x}{\rho_2 u_2^3} \end{aligned} \quad (2.1)$$

Здесь  $M_2$ ,  $\rho_2$ ,  $u_2$ ,  $T_2$  – число Маха и газодинамические переменные за ударной волной ( $x = +\infty$ ). Газодинамические переменные при  $x = \pm \infty$  связаны условиями Гюгонио. Для решения задачи необходим анализ особых точек при  $x = \pm \infty$ .

Полагая в (2.1) равными нулю барнеттовы слагаемые, получаем уравнения  $L_1 = 0$ , т.е. уравнения в приближении Навье – Стокса

$$\begin{aligned} \frac{4}{3} \eta v' = v + \frac{3}{5M_2^2} \frac{\Theta}{v} - \left( 1 + \frac{3}{5M_2^2} \right), \quad (0)' = \frac{d(0)}{dz} \\ \frac{9}{4M_2^2} \eta \Theta' = \frac{9}{10M_2^2} \Theta - \frac{v^2}{2} + \left( 1 + \frac{3}{5M_2^2} \right) v - \frac{1}{2} \left( 1 + \frac{3}{M_2^2} \right) \end{aligned}$$

Детальный анализ и решение задачи (2.2) даны в [19]. Особая точка при  $x = -\infty$  "притягивает" траектории и эффективным является интегрирование из окрестности  $x = +\infty$  при любом  $M_1$ .

Используя (1.6) и добавляя справа в первое и второе уравнения (2.2)  $\sigma^{(2)}$  и  $q^{(2)}$  соответственно, получаем систему уравнений в приближении Барнетта, описывающую структуру ударной волны. Проведенный в [18] анализ особых точек показал причины невозможности ее интегрирования из окрестности  $x = +\infty$ .

При замене в уравнениях величин  $\sigma^{(2)}$ ,  $q^{(2)}$  на  $\sigma^{(2)}(\Sigma_0)$ ,  $q^{(2)}(\Sigma_0)$  из (1.9) получаем неоднородные уравнения Навье – Стокса

$$\begin{aligned} \frac{4}{3}\eta v' &= v + \frac{3}{5M_2^2}\frac{\Theta}{v} - \left(1 + \frac{3}{5M_2^2}\right) + \\ &+ \eta_0^2 v_0 \left\{ \omega_1 \frac{5M_2^2}{3\Theta_0} v_0'^2 + \omega_2 \frac{\Theta_0''}{\Theta_0} + \omega_3 \left( \frac{\Theta_0'}{\Theta_0} \right)^2 + \omega_4 \left[ 2 \left( \frac{v_0'}{v_0} \right)^2 - \frac{v_0''}{v_0} \right] + \right. \\ &\left. + \omega_5 \left( \frac{v_0'}{v_0} \right)^2 - \omega_6 \frac{v_0' \Theta_0'}{v_0 \Theta_0} \right\} \\ \frac{9}{4M_2^2} \eta \Theta' &= \frac{9}{10M_2^2} \Theta - \frac{v^2}{2} + \left(1 + \frac{3}{5M_2^2}\right) v - \frac{1}{2} \left(1 + \frac{3}{M_2^2}\right) + \\ &+ \eta_0^2 v_0 \left( \gamma_1 v_0' \frac{\Theta_0'}{\Theta_0} + \gamma_2 v_0'' - \gamma_3 \frac{v_0'^2}{v_0} \right) \end{aligned} \quad (2.3)$$

где  $v_0$ ,  $\Theta_0$  – решение однородных уравнений Навье – Стокса.

Для получения из (1.10) неоднородных усеченных уравнений Барнетта полагаем

$$q^{(2)} = q_1^{(2)}(\Sigma) + q_2^{(2)}(\Sigma_0^*), \quad \sigma^{(2)} = \sigma_1^{(2)}(\Sigma) + \sigma_2^{(2)}(\Sigma_0^*)$$

Результаты расчетов показали, что достаточно высокую точность дает следующее приближение:

$$\begin{aligned} \frac{4}{3}\eta v' &= v + \frac{3}{5M_2^2}\frac{\Theta}{v} - \left(1 + \frac{3}{5M_2^2}\right) + \eta^2 v \left[ \omega_1 \frac{5M_2^2}{3\Theta} v'^2 + \omega_5 \left( \frac{v'}{v} \right)^2 - \omega_6 \frac{v' \Theta'}{v \Theta} \right] + \\ &+ \eta_0^2 v_0 \left\{ \omega_2 \frac{\Theta_0''}{\Theta_0} + \omega_3 \left( \frac{\Theta_0'}{\Theta_0} \right)^2 + \omega_4 \left[ 2 \left( \frac{v_0'}{v_0} \right)^2 - \frac{v_0''}{v_0} \right] \right\} \\ \frac{9}{4M_2^2} \eta \Theta' &= \frac{9}{10M_2^2} \Theta - \frac{v^2}{2} + \left(1 + \frac{3}{5M_2^2}\right) v - \frac{1}{2} \left(1 + \frac{3}{M_2^2}\right) + \eta^2 v \left( \gamma_1 v' \frac{\Theta'}{\Theta} - \gamma_3 \frac{v'^2}{v} \right) + \\ &+ \eta_0^2 v_0 \gamma_2 v_0'' \end{aligned} \quad (2.4)$$

где  $v_0$ ,  $\Theta_0$  – решение однородных уравнений, получающихся из (2.4) путем отбрасывания неоднородной части.

Постановка граничных условий для всех описанных систем уравнений требует анализа решений в окрестностях особых точек  $x = \pm \infty$ . Как обычно, проводится линеаризация уравнений. Поскольку в линеаризованных системах (2.3) и (2.4) дифференциальные операторы идентичны и совпадают с операторами обычных однородных уравнений Навье – Стокса, то количество и величина собственных значений совпадают. Поэтому аналогично [19] должно быть эффективным интегрирование из окрест-

ности  $x = +\infty$ , где существует единственное затухающее решение задачи для отрицательного собственного значения  $\lambda_1$ .

Собственные векторы этого решения для неоднородной системы уравнений Навье – Стокса (2.3) имеют вид

$$\begin{pmatrix} v \\ \Theta \end{pmatrix} = \begin{pmatrix} 1 \\ 1 \end{pmatrix} + \left\{ \left[ C + \frac{f_v c_{T2} - f_T c_{v2}}{c_{T2} c_{v1} - c_{T1} c_{v2}} \right] \begin{pmatrix} c_{v1} \\ c_{T1} \end{pmatrix} + \frac{1}{\lambda_2 - \lambda_1} \frac{f_v c_{T1} - f_T c_{v1}}{c_{T2} c_{v1} - c_{T1} c_{v2}} \begin{pmatrix} c_{v2} \\ c_{T2} \end{pmatrix} \right\} e^{\lambda_1 z}$$

$$f_v = \lambda_1^2 \left( c_{v1} + \frac{1}{2} c_{T1} \right), \quad f_T = -\frac{7}{9} M_2^2 \lambda_1^2 c_{v1}$$

где  $\lambda_2 > 0$  – второе собственное значение,  $c_{vi}, c_{Ti}$  – компоненты собственных векторов однородной системы Навье – Стокса, соответствующие  $\lambda_i$ .

Решения однородной и неоднородной систем определяются с точностью до произвольной постоянной  $C$ , отвечающей за положение скачка в пространстве, т.е. за пространственный сдвиг решений этих систем. Значение  $C$  выбиралось таким образом, чтобы при отбрасывании неоднородной части получалось решение, совпадающее с ранее полученным решением однородной системы, по которому рассчитывалась неоднородная часть.

Проведенный анализ особых точек справедлив и для неоднородных усеченных уравнений Барнетта (2.4), поскольку в линейном приближении эти уравнения совпадают с линейными неоднородными уравнениями Навье – Стокса.

Системы уравнений (2.3) и (2.4) интегрировались численно методом Эйлера с переменным шагом. Интегрирование начиналось с достаточно удаленной точки, где  $v - 1 \ll 1$ . Отсутствие влияния параметров численной процедуры на результат проверялось опытным путем.

3. Расчеты структуры ударной волны по описанным выше модифицированным уравнениям проведены в диапазоне чисел  $M_1 = 1,5–35$ . Для сравнения использовались результаты решения системы уравнений Барнетта и расчетов методом прямого статистического моделирования [8, 12, 13]. Поскольку последний дает результаты, хорошо согласующиеся с экспериментом, экспериментальные данные ниже не приводятся. В основном опубликованные результаты получены для  $M_1 \leq 11$ , так как именно для этих значений были измерены характеристики ударной волны. Расчеты до чисел  $M_1 = 50$  проведены в [8], однако профили плотности и температуры представлены только для  $M_1 = 35$ .

Особое внимание было уделено "мягким" межмолекулярным потенциалам, как наиболее интересным для гиперзвуковой аэродинамики:  $\mu^* = 0,72$  и  $1$  (максвелловские молекулы).

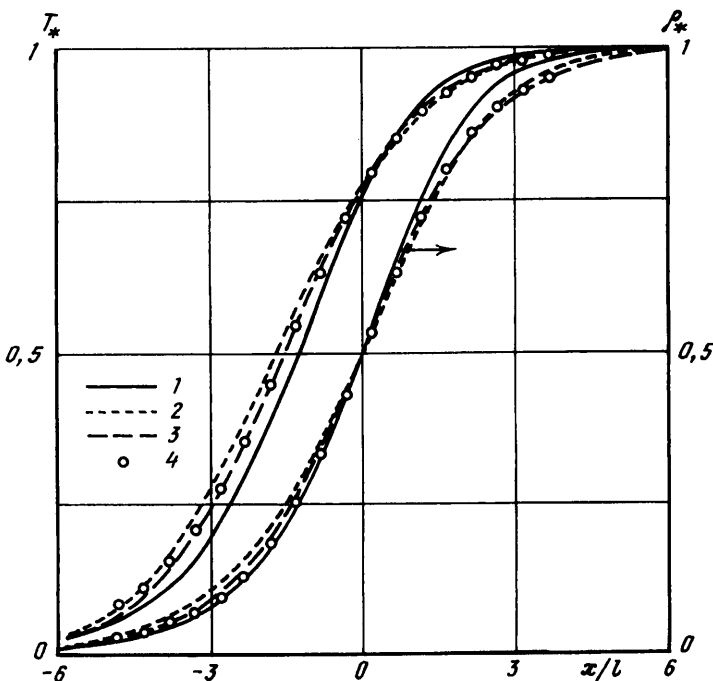
Результаты расчетов приведены на фиг. 1–7. Использованы обозначения

$$\Delta_\rho = \frac{\delta}{l}, \quad l = \frac{16\mu_1}{5\rho_1} \left( 2\pi \frac{k}{m} T_1 \right)^{-\frac{1}{2}}, \quad T_* = \frac{T - T_1}{T_2 - T_1}, \quad \rho_* = \frac{\rho - \rho_1}{\rho_2 - \rho_1}, \quad (3.1)$$

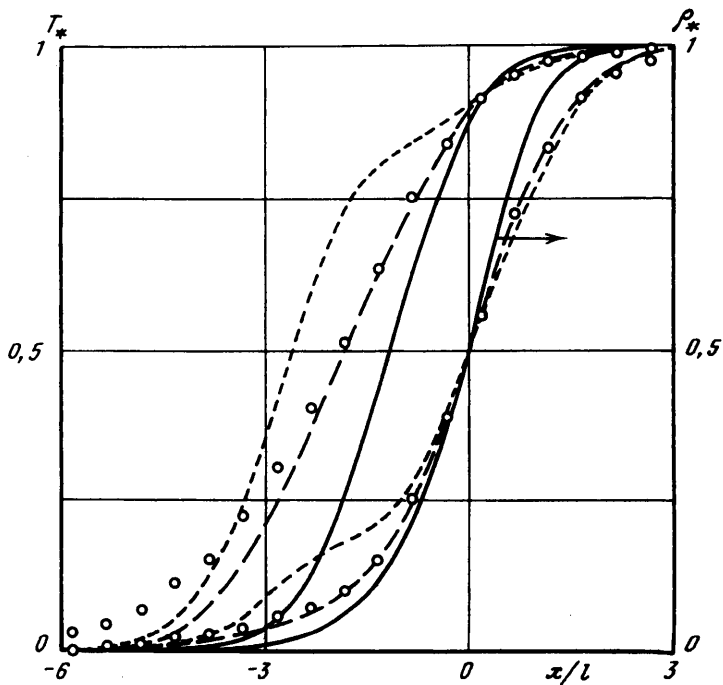
$$Q_\rho = \left[ \int_0^\infty (1 - \rho_*(z)) dz \right]^{-1} \int_{-\infty}^0 \rho_*(z) dz, \quad \rho_*(0) = \frac{1}{2}$$

где  $\delta$  – толщина ударной волны, рассчитываемая, как обычно, по  $\max \rho'$ ;  $l, \mu_1, \rho_1, T_1$  – средняя длина свободного пробега молекул, коэффициент вязкости, плотность и температура в набегающем потоке (при  $x = -\infty$ );  $T_*$ ,  $\rho_*$  – приведенные температура и плотность. Величина  $Q_\rho$  характеризует асимметрию профиля плотности, величина  $\Delta_{\rho T}$  – отнесенное к  $l$  расстояние между точками  $T_* = 1/2$ ,  $\rho_* = 1/2$ .

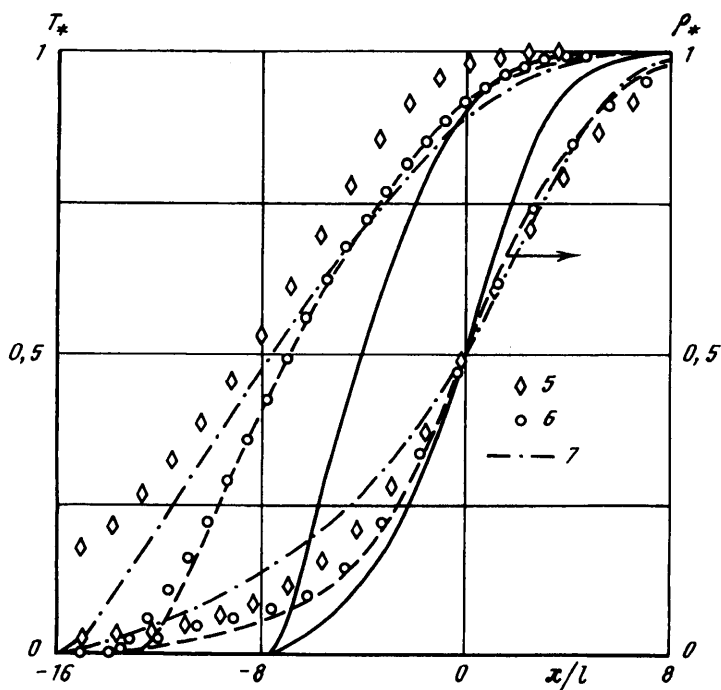
Верхние пучки кривых на фиг. 1–4 дают профили  $T_*(x/l)$ , нижние пучки – профили  $\rho_*(x/l)$ .



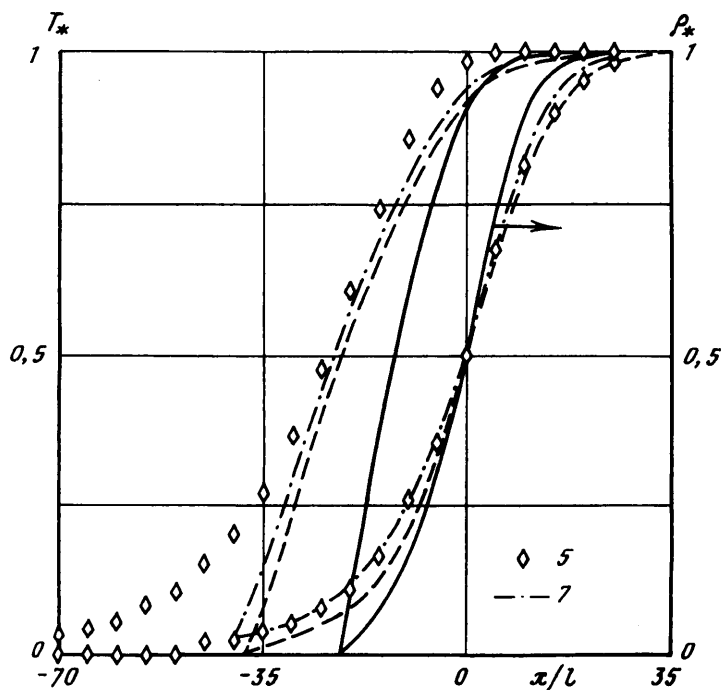
Фиг. 1. Профили приведенной температуры  $T_*$  и приведенной плотности  $\rho_*$  в ударной волне при  $M_1 = 1,75$ ,  $\mu^* = 0,72$ . 1 – решение уравнений Навье – Стокса, 2 – неоднородных уравнений Навье – Стокса (2.3), 3 – усеченных неоднородных уравнений Барнетта (2.4), 4 – уравнений Барнетта [12]



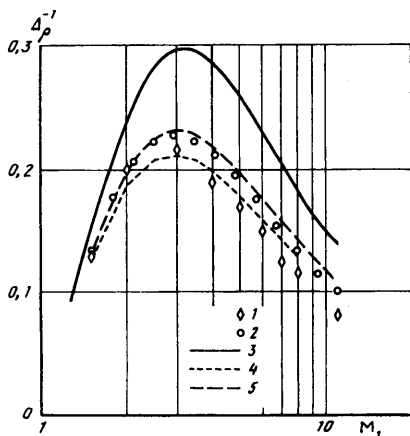
Фиг. 2. Профили  $T_*$  и  $\rho_*$  в ударной волне при  $M_1 = 3,8$ ,  $\mu^* = 0,72$ . Обозначения см. на фиг. 1



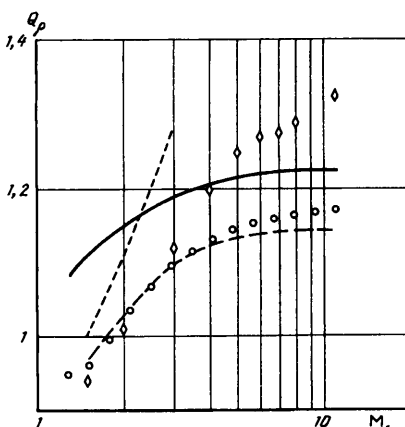
Фиг. 3. Профили  $T_*$  и  $\rho_*$  в ударной волне при  $M_1 = 11$ ,  $\mu^* = 1.5$  – метод прямого статистического моделирования [13], 6 – решение уравнений Барнетта [13], 7 – приближение (1.11) [13]. Остальные обозначения см. на фиг. 1



Фиг. 4. Профили  $T_*$  и  $\rho_*$  в ударной волне при  $M_1 = 35$ ,  $\mu^* = 1.5$  – расчет методом прямого статистического моделирования [8], 7 – решения уравнений Барнетта при  $\omega_4 = 0$  [8]. Остальные обозначения см. на фиг. 1



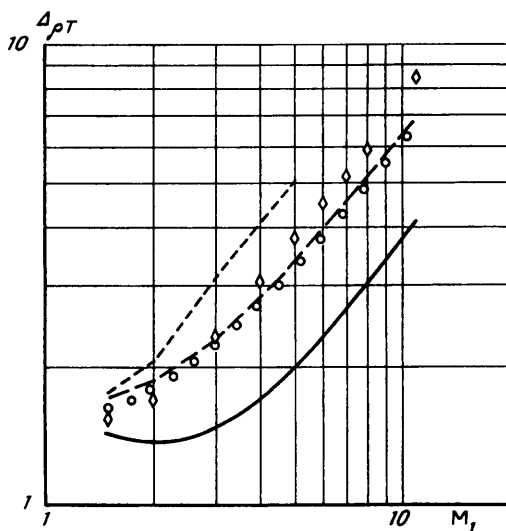
Фиг. 5



Фиг. 6

Фиг. 5. Зависимость безразмерной обратной толщины ударной волны  $\Delta_\rho^{-1}$  от числа  $M_1$  для  $\mu^* = 1$ . 1 – расчет методом прямого статистического моделирования [13], 2 – решение уравнений Барнетта [3], 3 – уравнений Навье–Стокса, 4 – неоднородных уравнений Навье – Стокса (2.3), 5 – усеченных неоднородных уравнений Барнетта (2.4)

Фиг. 6. Зависимость параметра асимметрии профиля плотности  $Q_\rho$  от числа  $M_1$  для  $\mu^* = 1$ . Обозначения см. на фиг. 5



Фиг. 7. Зависимость расстояния  $\Delta_{\rho_T}$  между профилями  $\rho_*$  и  $T_*$  от числа  $M_1$  для  $\mu^* = 1$ . Обозначения см. на фиг. 5

На фиг. 1, 2 результаты решения уравнений Барнетта взяты из [12] для аргона. Представленные на фиг. 3, 5–7 результаты, полученные при помощи уравнений Барнетта и метода прямого статистического моделирования для  $\mu^* = 1$ , взяты из [13], а на фиг. 4 – из [8] для  $\mu^* = 1$ . В [8] решение уравнений Барнетта получено на сравнительно крупной сетке, причем для максвелловских молекул не учитывался член со второй производной от плотности в  $p_{xx}$ . Результаты [8] уточнены в [13], где

применялись расширенные с учетом (1.7) уравнения Барнетта. Для аргона в [12] полагалось  $\mu^* = 0,72$ , в [13] –  $\mu^* = 0,75$ .

Перейдем к анализу результатов. При  $M_1 = 1,75$  (фиг. 1) решение неоднородных уравнений Навье – Стокса (2.3) близко к решению уравнений Барнетта. Небольшие различия имеются в "задней" части профиля плотности и в "передней" части профиля температуры. Такая близость результатов для  $\rho_*$  и  $T_*$  сохраняется примерно до  $M_1 = 2–2,5$ . С ростом  $M_1$  различия увеличиваются, в профилях появляются волнообразные участки (фиг. 2). Тем не менее для толщины ударной волны результаты решения неоднородных уравнений Навье – Стокса (2.3) хорошо согласуются с решением методом прямого статистического моделирования вплоть до  $M_1 = 11$  (фиг. 5). Для параметра асимметрии  $Q_\rho$  уравнения (2.3) дают достаточную точность лишь при  $M_1 \leq 2$  (фиг. 6), а для  $\Delta_{\rho T}$  – при еще меньшем  $M_1$  (фиг. 7).

Таким образом, для сильных ударных волн неоднородные уравнения Навье – Стокса не обладают должной точностью. Поэтому были проведены исследования влияния на форму и взаимное расположение профилей  $\rho_*$  и  $T_*$  различных барнеттовых членов тензора напряжений и вектора теплового потока, а также нескольких способов определения  $L_2^{(2)}$  в (1.10). Наилучшим вариантом расщепления оператора  $L_2$  оказалась модификация (2.4), названная неоднородными усеченными уравнениями Барнетта.

При  $M_1 = 1,75$  результаты решения неоднородных усеченных уравнений Барнетта и полной системы уравнений Барнетта [12] для  $\rho_*$  и  $T_*$  фактически совпадают (фиг. 1). При  $M_1 = 3,8$  и  $\mu^* = 0,72$  расхождения имеют место только в переднем участке профиля  $T_*$ , а для  $\rho_*$  результаты практически неразличимы (фиг. 2).

Для больших чисел  $M_1$  в случае максвелловских молекул даже это небольшое расхождение исчезает (фиг. 3, 4). Приближение (1.11) [13] заметно хуже результатов применения (2.4) (фиг. 3). Решения неоднородных усеченных уравнений Барнетта близки к решениям полной системы уравнений Барнетта [8, 13] не только для профилей  $\rho_*$  и  $T_*$ , но и для толщины ударной волны и параметров  $Q_\rho$  и  $\Delta_{\rho T}$  (фиг. 5–7).

Как рассматриваемая модификация, так и полная система уравнений Барнетта кардинально уточняют уравнения Навье – Стокса. Неожиданным исключением является зависимость  $Q_\rho$  от  $M_1$ , где при  $M_1 = 4–11$  результаты решения уравнений Навье – Стокса ближе к данным, полученным методом прямого статистического моделирования, чем результаты решения уравнений Барнетта.

Теперь о сопоставлении результатов неоднородных усеченных уравнений Барнетта с результатами метода прямого статистического моделирования. При  $M_1 = 11$  (фиг. 3) наклон профиля  $\rho_*$ , согласно методу прямого статистического моделирования, несколько выше результатов решения неоднородных усеченных уравнений Барнетта, значительно больше различия – для профиля  $T_*$ , особенно в его низкотемпературной части. При  $M_1 = 35$  (фиг. 4) имеется очень хорошее согласие профилей  $\rho_*$ , для профилей  $T_*$  максимальное различие – на переднем "крыле" профиля.

В диапазоне  $M_1 = 3–11$  при  $\mu^* = 1$  неоднородные усеченные уравнения Барнетта несколько занижают толщину ударной волны (фиг. 5), для  $Q_\rho$  они дают хорошую точность при  $M_1 < 3$  (фиг. 6), очень хорошее согласие с методом прямого статистического моделирования имеет место для  $\Delta_{\rho T}$  (фиг. 7).

**Заключение.** Для расчета структуры ударной волны в одноатомном газе предложены модификации уравнений Барнетта, значительно более простые, чем полная система уравнений Барнетта, но обладающие практически такой же точностью. Порядок этих систем уравнений и число необходимых граничных условий такие же, как и системы уравнений Навье – Стокса, в отличие от уравнений Барнетта они устойчивы к коротковолновым возмущениям.

Предложенная система неоднородных уравнений Навье – Стокса, неоднородную часть которых составляют барнеттовы слагаемые, вычисленные по решению обыч-

ных (однородных) уравнений Навье – Стокса, дает удовлетворительные результаты при  $M_1 \leqslant 2,5$ .

Система неоднородных усеченных уравнений Барнетта получена из полной системы уравнений Барнетта, в которой старшие производные и член  $p_{xx}$ , пропорциональный квадрату первой производной температуры, включены в неоднородную часть, рассчитанную по решению усеченной системы. Такая система дает практически те же результаты, что и полная система, в широком диапазоне чисел Маха (1,5–35).

Анализ проведен для мягких межмолекулярных потенциалов, характерных, например, для молекул азота и кислорода. Для профилей газодинамических величин в ударной волне наибольшее расхождение предложенной системы неоднородных усеченных уравнений Барнетта, как и системы полных уравнений Барнетта, с результатами метода прямого статистического моделирования имеет место в переднем крыле профиля температуры: согласно кинетическому описанию, возмущения температуры проникают гораздо дальше вверх по потоку по сравнению с используемыми макроскопическими описаниями.

Работа выполнена при финансовой поддержке Российского фонда фундаментальных исследований (код проекта 96-01-01244).

## СПИСОК ЛИТЕРАТУРЫ

1. Коган М.Н. Динамика разреженного газа. М.: Наука, 1967. 440 с.
2. Cercignani C. The Boltzmann equation and its applications. N.Y.: Springer, 1988. 455 p.
3. Ферцгер Дж., Канер Г. Математическая теория процессов переноса в газах. М.: Мир, 1976. 554 с.
4. Sherman F.S., Talbot L. Experiment versus kinetic theory for rarefied gases // Rarefied Gas Dynamics. London: Pergamon Press. 1960. P. 161–191.
5. Simon C.E., Foch J.D. Numerical integration of the Burnett equations for shock structure in Maxwell gas // Rarefied Gas Dynamics. N.Y.: AIAA, 1977. V. 1. P. 493–500.
6. Галкин В.С., Коган М.Н. К выводу уравнений медленных неизотермических течений газа // Изв. АН СССР. МЖГ. 1979. № 6. С. 77–84.
7. Струминский В.В., Шавалиев М.Ш. Гидродинамические уравнения высших приближений метода Чемпена – Энскога // Динамика разреженного газа: Тр. 6-й Всесоюз. конф. Новосибирск: Ин-т теплофизики, 1980. Ч. 1. С. 86–91.
8. Fiscko K.A., Chapman D.R. Comparison of Burnett, super-Burnett and Monte Carlo solutions for hypersonic shock structure // Rarefied Gas Dynamics. Washington: AIAA, 1989. V. 3. P. 374–395. (Progress in Astronaut. and Aeronaut. V. 118).
9. Cheng H.K., Emanuel G. Perspective on hypersonic nonequilibrium flow // AIAA Journal. 1995. V. 33. № 3. P. 386–400.
10. Zhong X., MacCormack R.W., Chapman D.R. Stabilization of the Burnett equations and application to hypersonic flows // AIAA Journal. 1993. V. 31. № 6. P. 1036–1043.
11. Salomons E., Mareschal M. Usefulness of the Burnett description of strong shock waves // Phys. Rev. Lett. 1992. V. 69. № 2. P. 269–272.
12. Chou L.C., Deng Z.-T., Liaw G.-S. Comparison of shock wave structure by solving Burnett and Boltzmann equations // AIAA Paper. 1994. № 2056. 8 p.
13. Lumpkin F.E., Chapman D.R. Accuracy of the Burnett equations for hypersonic real gas flows // AIAA Paper. 1991. № 0171. 17 p.
14. Макашев Н.К. О граничных условиях для уравнений газодинамики, соответствующих высшим приближениям в методе Чемпена – Энскога решения уравнения Больцмана // Изв. АН СССР. МЖГ. 1979. № 3. С. 77–87.
15. Бобылев А.В. О методах Чемпена – Энскога и Грэда решения уравнения Больцмана // Докл. АН СССР. 1982. Т. 262. № 1. С. 71–75.
16. Галкин В.С. Точное решение системы уравнений кинетических моментов второго порядка для двухмасштабного гомоэнергетического аффинного течения одноатомного газа // Изв. РАН. МЖГ. 1995. № 3. С. 156–166.

17. *Zhong X., Furumoto G.H.* Augmented Burnett equation solutions over axisymmetrical blunt bodies in hypersonic flow // *J. Spacecraft and Rockets*. 1995. V. 32. № 4. P. 588–595.
18. *Foch J.D.* On higher order hydrodynamic theories of shock structure // *The Boltzmann equation. Theory and applications*. Vienna: Springer, 1973. P. 123–140.
19. *Gilbarg D., Paolucci D.* The structure of shock waves in the continuum theory of fluids. // *J. Rat. Mech. Analysis*. 1953. V. 2. № 4. P. 617–642.

Москва

Поступила в редакцию  
26.XII.1996